GEOPHYSICAL & GEOCHEMICAL EXPLORATION

垦 71 区块井间地震资料处理研究与应用

孔庆丰1,2,王延光2,左建军2,魏国华2,魏洪泉2

(1. 中国科学院 地质与地球物理研究所,北京 100029; 2. 胜利油田分公司 物探研究院,山东 东营 257022)

摘 要:由于避开了地表低降速带和风化层的影响,并间地震能够采集到高频地震信号,经过资料处理可以得到较高分辨率的速度和上行反射波成像剖面。2004~2005年,胜利油田在垦71区块实施了8对井间地震资料采集。针对原始资料特点,研究了以层析成像、管波衰减、VSP-CDP技术和有限角度叠加成像等关键处理技术,较好地完成了该区块的井间地震资料处理。初步分析解释表明,井间地震可以识别低序级断层、小幅度构造和薄储层。

关键词:井间地震;层析成像;管波衰减;VSP-CDP;有限角度叠加

中图分类号: P631.4

文献标识码:A

文章编号: 1000-8918(2008)02-0175-05

井间地震方法将震源与检波器都置入井中,由于避开了地表低速带对地震信号高频成分的吸收,因此可以获得较高分辨率的地震信号(最高截频可达 1 kHz),对数据做处理后,就可得到井间地下介质的结构特征和物性变化等信息。在油藏开发中,与测井、地质等油藏开发动、静态资料结合,井间地震技术可以对井间小幅度构造、小断块、薄储集层的横向变化等情况进行精细描述,还可以对油气开采过程中储集层参数进行动态监测,分析监测流体移动方向、残余油气位置与数量等,为提高油气采收率服务。2004~2005年,胜利油田在垦71区块实施了井间地震资料的采集、处理和解释研究工作,取得了较好的效果。

1 地质概况

垦 71 区块位于山东省东营市河口区东南约 15

km 处,沾化凹陷中部,孤岛凸起西南端,地下断裂系统发育,是垦西油田的主力开发区。该工区位于逆牵引背斜构造上,低序级断层发育。常规三维地面地震由于分辨率较低,无法识别低序级断层,因此需要高分辨井间地震进行低序级断层的识别;目的层的馆陶组为河流相沉积,岩性变化快,需要井间高分辨地震资料描述井间岩性变化情况。井间地震的主要任务就是查明低序级断层、微幅构造和识别描述薄互层,帮助建立该区精细油藏地质模型。

2 资料采集和原始资料分析

图 1 是该区块井间地震测线分布,共 8 对井,震源采用 Z-seis 公司的压电晶体震源,接收为 OYO 公司的 12 级数字四分量检波器,检波器和震源间距 3 m,采样率 0.5 ms,记录长度 1 s,扫描次数 8 次。

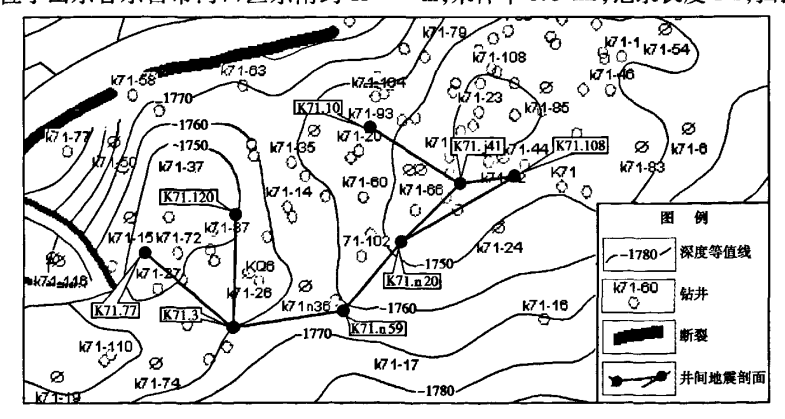


图 1 井间地震测线分布示意

收稿日期:2006-12-21

基金项目:国家"十五"重大科技攻关项目井间地震技术研究与应用专题(2003BA613A-10-01)

图 2 是其中一对井间地震(K71. j41-K71. 108)的浅、中、深层的共接收点记录及频谱,在原始记录上可以看到井间地震直达波和反射波比较清晰,存在着一些管波干扰,记录信号的信噪比和频率比较高,为资料处理提供了较好品质的原始资料。

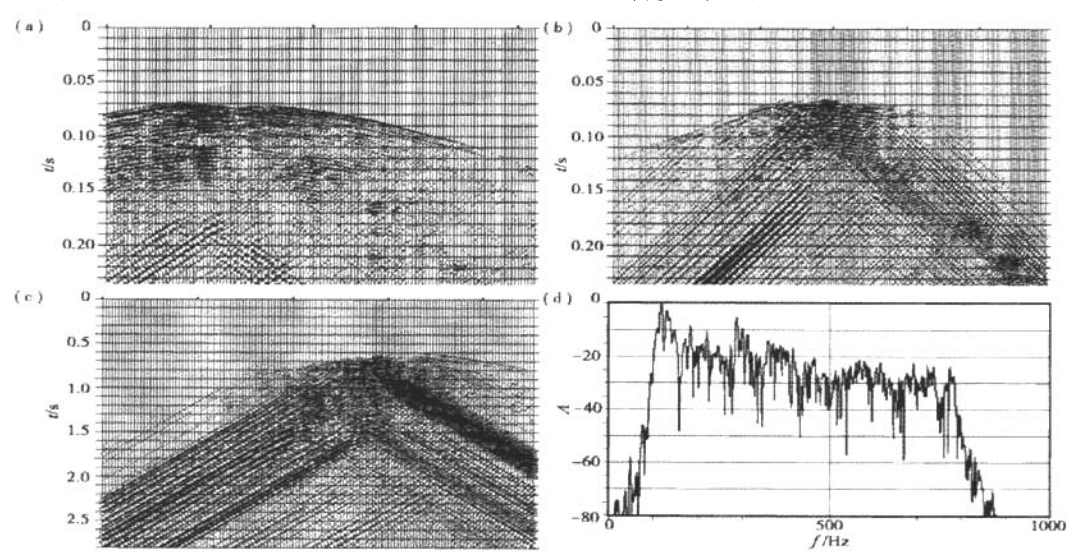
3 关键处理技术

通过对原始数据的整理与分析,确定速度层析 反演、管波衰减、VSP-CDP 和有限角度叠加成像等 关键技术的处理流程。

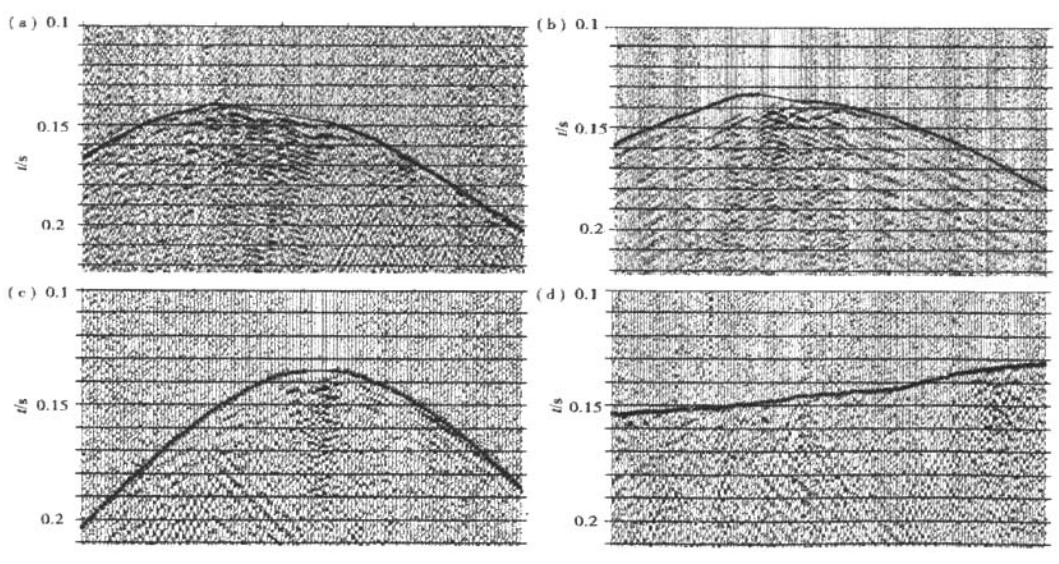
3.1 速度层析反演

速度层析反演是井间地震资料处理的重要内容之一,它是利用直达波旅行时进行井间速度场的反演,因此,直达波拾取质量决定了层析反演的精度。在直达波拾取时,不仅在共检波点道集(CRG)、共炮点道集(CSG)上拾取,还要在共偏移距道集(COG)、共中心深度点道集(CMG)上拾取,可以提高直达波拾取时间的精度(图3)。

根据测井解释成果划分地层,建立速度层析的 初始架构模型,保障了层析成像的结果更加符合实



a—浅层共检波点记录;b—中层共检波点记录;c—深层共检波点记录;d—原始资料频谱 图 2 共检波点记录及频谱



a—共检波点道集;b—共炮点道集;c—共深度波道集;d—共偏移距道集 图 3 多域的直达波拾取

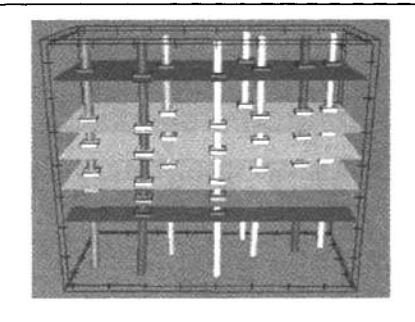


图 4 垦 71 区块初始构造模型

际地质构造情况。图 4 是垦 71 井区井间地震直达 波层析反演所用的初始架构模型,共有 6 层。

采用最小平方共轭梯度法进行速度层析反演, 在反演过程中对于射线片段的传播角度引入各向异 性,来保证获得更准确的速度图像,同时,利用解 Chebyshev 多项式的因子来计算旅行时的残差,改善 了反演条件。

在实际层析成像时,利用均方根时差来判断算 法收敛程度,即均方根残差小于一个采样间隔(0.5 ms)。此外,通过层析结果与井旁声波测井速度的

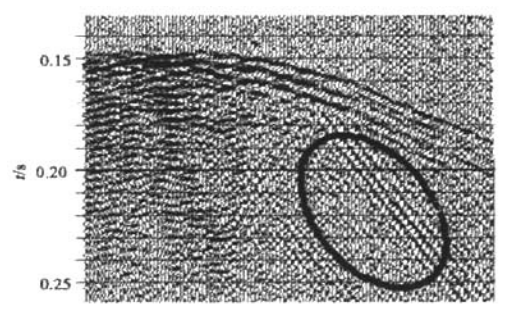


图 5 原始记录(左)和消除管波后的记录(右)

3.3 VSP-CDP 技术

井间地震 VSP-CDP 技术是在垂直地震剖面 VSP-CDP 技术基础上发展而来的,该方法相当于一种坐标变换,将每个记录道集中的每个记录时间的 样值从深度一时间(z,t)域变换到偏移距—反射点深度域(x,z)或偏移距—双程垂直走时域(x,t)。

在(z,t)域将资料按一定时间间隔分成很多小块,通常t方向的间隔可采用采样间隔 Δt ,z方向间隔为 Δz ,在(x,z)域内,x方向上每一个点就相当于地面地震的一个 CDP 点,如果(z,t)空间样点转换之后落在 CDP 点附近,则该样点属于此 CDP 点,最后形成 CDP 点道集。每个 CDP 道集做叠加就得到了 CDP 叠加剖面。

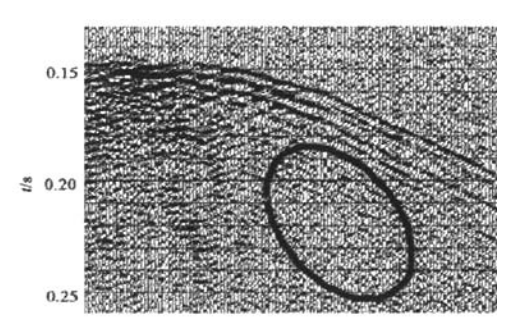
图 6(左)是 VSP-CDP 成像过程中反射点从时间域向空间域转换使用的速度模型,将层析反演得到详尽的层速度作为反射波射线追踪的速度模型是

趋势进行比较,当2条曲线趋势大致相同时,层析成像效果为最佳,即得到了分辨率较高的反演成果。

3.2 管波衰减

在井间地震的野外采集与资料处理中,井间地 震原始资料包含有大量管波。在油田开发中,射孔 作业导致井内存在许多射孔点,射孔点成为井筒内 的物性间断点,使得沿井筒柱面传播的面波一部分 能量在射孔点位置向四周空间辐射出去,为邻井检 波器接收,这就是记录中的管波能量。

本次采集采用了带推靠的井下检波器,接收井管波能量比较弱。图 5(左)是垦 71 区块井间地震资料的共检波点记录,从图上可以看到存在大量的震源井管波,这些波能量强,对有效反射波的干扰非常严重,因此,必须将其消除。采用的方法是:从共检波点记录和共炮点记录上分别按照上行、下行管波进行去除,在每个域内用一个准确的管波视速度将其拉平,然后进行中值滤波将其消除。图 5(右)为管波衰减后的结果,可以看出经过中值滤波后,管波得到很好的衰减,直达波和反射波能量更加突出。



3.4 有限角度叠加成像

的信噪比和分辨率。

井间地震 VSP-CDP 是按照每个共中心深度点(炮点深度与检波点深度之和的一半) 道集分别进行映射完成的,这样每个共中心深度点可以得到一个完整的成像区域,所有的共中心深度点道集就可以得到多个井间地震反射波成像。在射线追踪计算过程中可以记录下每个反射点的人射角,根据得到的多个成像对每个 CDP 点按照人射角大小排序。

井间地震 VSP-CDP 的优势条件。通过这步工作,时

间域的上行反射波被归位到正确的模型反射深度位置上。图 6(右)是 VSP-CDP 成像结果, 剖面有较高

如果上、下层速度分别为 v_1 和 v_2 , 入射角和透射角分别为 α 和 β , 那么, 根据 snell 定律可以得到

 $\sin\alpha/\sin\beta = v_1/v_2 \, , \tag{1}$

当入射角 α 达到临界角时 β = 90°. 上式变为

 $\sin\alpha = v_1/v_2 \, (2)$

从上式可以看出,利用上、下界面的速度比可计算临 界角的大小。

由于每口井都有声波测井资料,可利用声波时差得到反射界面上下的声波速度,从而根据式(2)计算临界角。由于计算得到的临界角不能很直观反映从浅至深的临界角变化,因此,可利用地震子波来进行不同人射角度的数值模拟,得到合成的反射点角度道集,从而直观地确定临界角的分布范围。通过与实际的 CDP 点道集相结合,确定要叠加角度。

图7 是垦 71 地区井间地震 K71.120—K71.3 中一个 CDP 点 AVA 道集的有限角度选择的实例。

从垦71 区块井间地震的2个角度叠加剖面(图8)亦可以说明角度选择叠加的优势,45°~75°剖面包含的主要是正常反射;而在0°~45°度剖面几乎看不到反射。

4 成果初步分析

K71. n20—K71. j41—K71. 108 井的 2 对连井剖面, 反射波信噪比较高,同相轴连续性好,剖面分辨率较

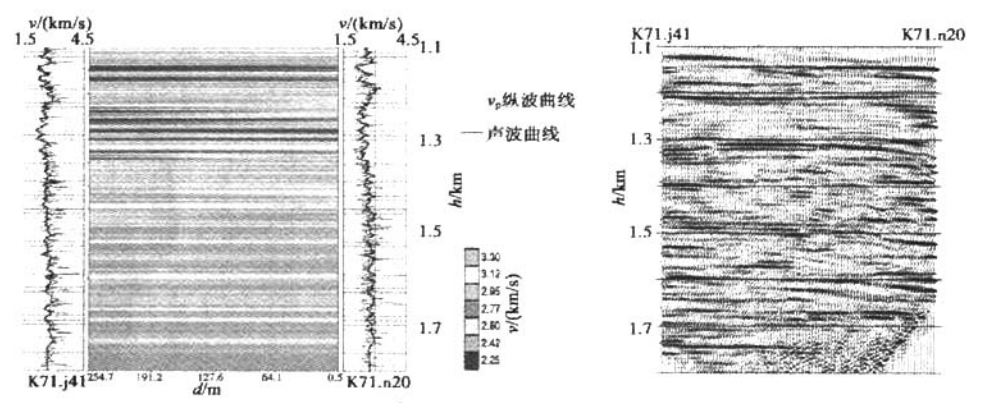


图 6 层析反演结果(左)和 VSP-CDP 成像结果(右)

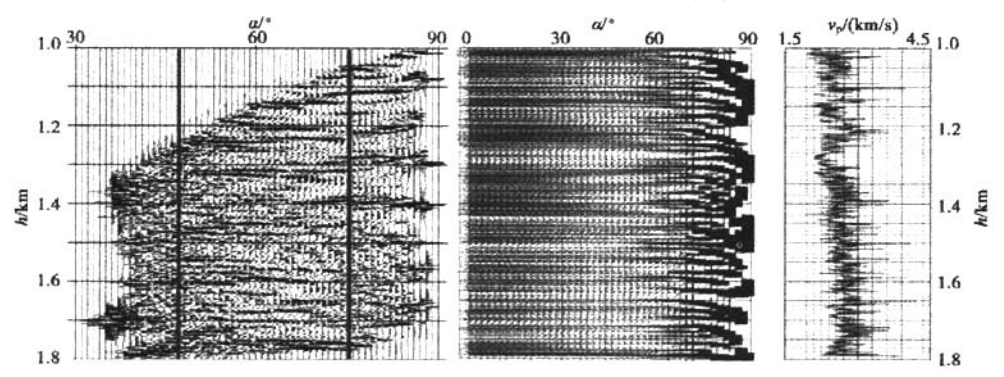


图7 共反射点道集(左)、合成反射点道集(中)、声波速度曲线(右)

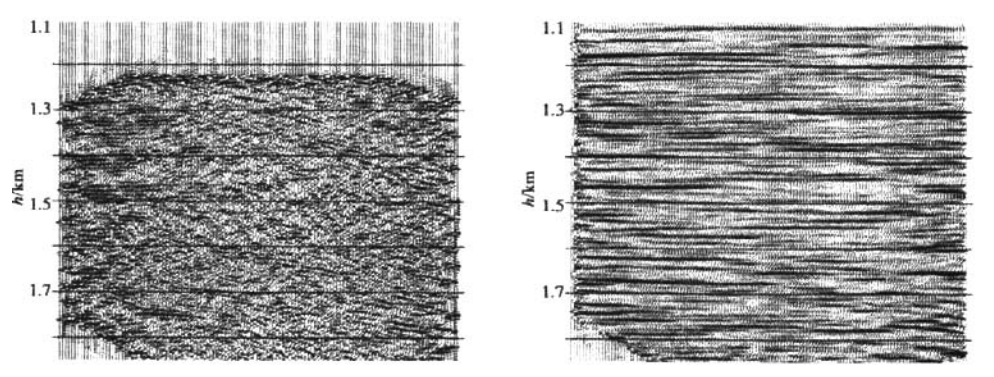


图 8 0°~45°度有限角度叠加(左)和45°~75°有限角度叠加(右)

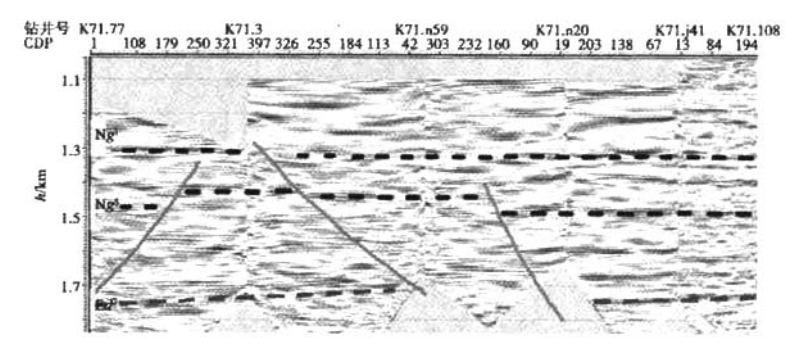


图 9 5 对井地震连井剖面

高,尤其是反映馆陶组 (Ng^1,Ng^5) 和东营组 (Ed^2) 几个小层的反射波同相轴能量较强,可连续追踪。

横贯东西的 K71. 77—K71. 3—K71. n59—K71. n20—K71. j41—K71. 108 共 5 对井间地震连井剖面(图 9),长约 1 500 m。右边 3 条井间地震剖面信噪比和分辨率较高,同相轴呈水平状,地层横向连续性好,在井旁主要反射波同相轴衔接较好。Ng¹底界面对应的反射同相轴可以从 K71. 3 井连续追踪到 K71. 108 井,Ng⁵和 Ed²底界面在剖面亦有较好的反射,可以解释出连井剖面的 3 个断层。

5 认识与结论

通过垦71 区块井间地震资料处理技术的研究 和初步应用,得到如下结论。

(1)从采集原始资料来看,接收井井况是井间 地震取得良好资料的关键因素,井况好,获得的资料 品质就好。此外,射孔井段多少与管波有直接的 关系,目的层段射孔点多而密的井,管波都非常强。

- (2)由于采集的特殊性,并间地震存在大量的 广角反射波,通过模拟计算和实际资料估算临界角 大致范围,基于 VSP-CDP,利用反射点角度道集进 行有限角度叠加成像,可避开广角反射波的影响。
- (3)通过垦 71 井区块 8 对井间地震资料的处理,得到了较好的速度层析成像和反射波成像结果,为井间低序级断层、低幅度构造和薄层识别提供了高分辨率的资料,初步解释结果展示了井间地震技术在油气藏开发中良好的应用前景。

参考文献:

- [1] 陈世军,周建宇,王延光,等. 井间地震技术在獎 124 井区的应 用[J]. 石油物探,2003,42(3);369.
- [2] 曹辉,唐金良,郭全仕,等. 井间地震反射波场分离及应用研究 [J]. 石油物探,2004,43(6):518.
- [3] 郭全仕, 邬达理, 唐金良, 等. 井间地震反射波成像技术探讨 [J]. 石油物探, 2005, 44(5): 439.

THE STUDY AND APPLICATION OF CROSS-WELL SEISMIC DATA PROCESSING IN KEN 71 BLOCK

KONG Qing-feng^{1,2}, WANG Yan-guang², ZUO Jian-jun², WEI Guo-hua², WEI Hong-quan²
(1. Institute of Geology and Geophysics, CAS, Beijing 100029, China; 2. Geophysical Research Institute, Shengli Oilfield Ltd., Dongying 257022, China)

Abstract: As cross-well seismic exploration can avoid the impact of the low-velocity layer and weathering layer, it can acquire relative-ly high frequency seismic signal. After processing, fairly high resolution velocity and reflection imaging can be obtained. During 2004-2005, eight cross-well seismic profiles were processed in Ken 71 Block, Shengli Oil Field. In accordance with the characteristics of raw data, the authors studied tomography, tube wave attenuation, VSP-CDP and finite angle stack, and completed the cross-well seismic data processing. The analysis and interpretation of the final results show that cross-well seismic exploration can recognize small faults, small structures and thin reservoirs between two wells.

Key words: cross-well seismic exploration; computer tomography; tube wave attenuation; VSP-CDP; finite angle stack

作者简介: 孔庆丰(1969-),男,高级工程师,1991 年毕业于西北大学数学系,2003 年毕业于同济大学电子与信息工程学院,获硕士学位。在胜利油田物探研究院从事地震方法和处理研究,现在中国科学院地质与地球物理研究所攻读博士学位。